

BÖBREK ÜSTÜ BEZLERİNİN BİLGİSAYARLI TOMOGRAFİ İLE İNCELENMESİ

Orhan C. Tüzün

X ışınlarının keşfedilmesi kadar büyük bir olay olan «Bilgisayarlı Tomografi»nin, tanı ve hatta tedavi planlamasındaki önemi gün geçtikçe artmaktadır. Fakultemiz Radyoloji Biriminde böyle bir cihazın bulunması, kuşkusuz büyük bir boşluğu doldurmuş bulunmaktadır.

Bilgisayar sistemin Radyolojide kullanılması düşüncesi araştırıldığında, bunun yirminci yüzyılın başlangıcına kadar uzandığı söylenebilir. Ancak gerçekleşmesinde, Cormare (1963), Kuhl ve Edwards (1968), Gordon, Bender ve Herman (1970) emeği geçen kişiler olarak bilinir (1).

İngilterede, «Electrical and Musical Industries» (EMI) şirketinde, Goldfrey N. Hounsfield isimli, elektronik mühendisi ilk kez Bilgisayarlı Tomografi'yi yapmayı başardı ve 1972 yılında hastanede kullanılmaya başlandı. Bu cihaz yalnız beyin incelemesi yapabiliyordu. Sonraki yıllarda çeşitli jenerasyonlar imal edildi. Nitekim, 1974 yılında Tüm vücut Bilgisayarlı Tomografi cihazı-ki bizim cihazımız da bu tiptir gerçekleştirildi.

Böbrek üstü Bezler (BÜB) hastalıklarında, özzellikle erken dönemde, uygulanacak Bilgisayarlı Tomografi (BT), morfolojik ve patolojik değişiklikleri yüksek oranda saptama yeteneğine sahiptir (7).

Kasım 1981-Mayıs 1982 tarihleri arasında, klinik ve laboratuvar bulguları ve radyolojik incelemeleri BÜB hastalıkları düşündüren 20 olguya BT uygulanmış, ameliyat alınan 7 hasta ve diğerlerinin tartışmaları yapılmıştır.

BÜB.nin topografi ve morfojisi, direkt olarak, bu noninvasiv ve risksiz yöntem ile iyi şekilde ortaya konabilmiştir. İnceleme, kontrast madde verilmesini de gerektirmeden uygulanabilmesi daha da rahattır.

* A.J. Tip Fakültesi Radyoloji Birimi Doçenti

GEREÇ VE YÖNTEM

Kliniklerce, çeşitli ön tanı ve bulgularla gönderilen yirmi hasta incelenmiştir. Hastaların 12 si kadın 8 i erkektir.

Kadınlarda en küçük yaşı 21, en büyük yaşı 47, (ortalama 34), erkeklerde en küçük yaşı 30, en büyük yaşı 63, (ortalama 46) tür.

Bu çalışmamızda, A.Ü. Tıp Fakültesi Radyoloji Biriminde 1981 yılında kurulmuş olan DELTA SCAN 50 FAST Tüm vücut bilgi sayarlı tomografi cihazı kullanılmıştır. Sürensal incelenmesi için 13 mm.lik kesit kalınlığı seçilerek, 18 saniyelik tarama sonucunda iki kesitin görünflüsü elde edilmiştir.

Taramaya böbrek at kutbunun düzeyinden başlanarak, diafragma düzeyine kadar her yedi ve on mm.lik tarama yapan «overlapping» yöntemi kullanılmış, kesitler üst üste bindirilerek, aralarında taranmamış alan kalmamışı sağlanmıştır.

İncelenen hastanın barsak gazlarını azaltmak amacıyla, hasta bir kaç gün önceden posa bırakmayacak diyeti sokulmuştur. İncelemeden hemen önce, barsak hareketlerini durdurmak amacıyla 1 ampul Buscopan IV yolla uygulanmıştır.

Hasta supin pozisyonunda masaya yatarken, tarama sırasında hep aynı solunum fazında nefesini tutmasına dikkat edilmiştir.

BULGULAR

Yirmi hastaya ait bilgi ve bulgular Tabloda gösterilmiştir :

Tabloda görüldüğü gibi yedi hasta ameliyat edilmiştir. Dört hasta ameliyat için beklemektedir. Dört hastada testlerin tekrar edilmesi gereği duyulmuştur. Dört hastaya başka işlem yapılmasına gerek duyulmamıştır. Bir hasta Kronik glomerulonefriti ve hipertansiyonu olan ve sonradan ex. olan bir olgudur.

Klinik bulgu ve ön tanılardan anlaşılacağı gibi, hastalardan dördü Feokromositom ön tanısı almıştır. On hastadı ise Cushing sendromu düşünülmüştür. Diğer hastalar ise daha çok hipertansiyon nedenile incelemeye alınmışlardır.

TABLO

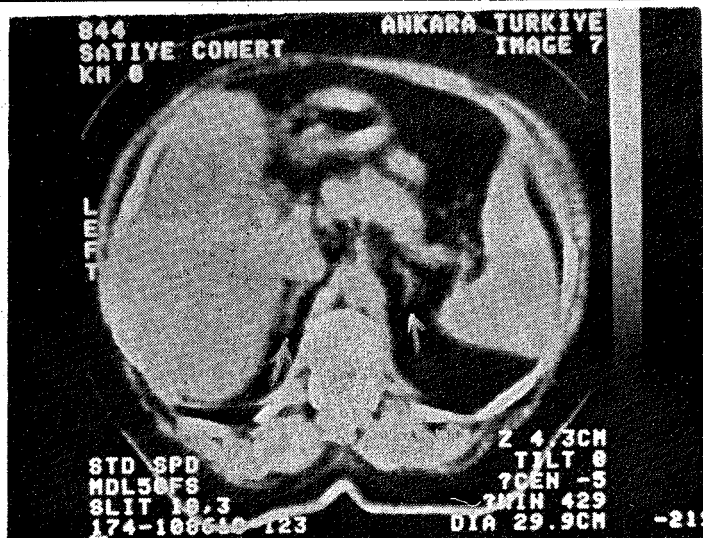
Sıra No.	Prot No.	Hastanın, adı, soyadı, yaşı	Klinik bulgu ve öznitelikler :	BT Bulguları	Sonuç
1	36	H. Bayram (48) (E)	Feokromositom	Sağ surrenalde, düzgün kenarlı non-homojen 10x13 cm. boyutlarında kitle.	Operasyon sonucu Feokromositom
2	273	N. Altun (34) (K)	Cushing?	Sağ surrenal iyi seçilemeye mekte, sol gövde normal, lateral kuyruk kalınlaşmış.	Testler tekrarlanıyor.
3	297	M. Sarıkaya (31) (E)	Cushing?	Sağ BÜB gövdesi ters V şeklinde, kuyrukları seçilebilmektedir. Sol BÜB gövdesi ters Y şeklinde ve medial kuyruğu ile birlikte seçilebilmektedir. Sağ medial kuyruk kalınlaşmış izlenimi vermektedir.	Operasyon sonucu bilateral hiperpilazi.
4	335	A. Yılmaz (21) (K)	Cushing?	Sağ normal, solda 24x25 mm. boyutlarında non-homojen, pankreas kuyruğuna yapışık kitle.	Operasyon sonucu, kapsüllü 4X3,3 cm ve 8 g. lik, hücre atipisi gösteren kitle. (Kortikal adenom).
5	347	C. Elli (53) (E)	Cushing?	Sağ normal. Solda aortanın ve sol lateral bölgelerinde surrenalın lateral kuyruğundan çıkan, düzgün kenarlı yuvarlak şekilli, non homojen ve böbrek üst kutbüne yapışıklık gösteren 48 mm çapında büyük kitle.	Operasyon sonucu Ca. (Kapsüllü Temiz).
6	614	A. Gürtas (42) (K)	Conn sendromu? Surrenal Adenom	Sol gövde büyükçe, kenarlar konveksleşmiş, sol medial kuyruk ucu kalınlaşmış, hiperpilazi.	Ameliyat olmadığı, testler tekrarlanıyor.
7	587	E. Benli (37) (K)	Feokromositom	Surrenaller normal görüldü. Tüm gövde taramasında Feo. saptanmadı.	Essensial hipertansiyon

TABLO (Devamı)

Sıra No.	Prot No.	Hastanın, adı, soyadı, yaşı	Klinik bulgu ve ön tanı :	BT Bulguları	Sonuç
8	608	T. Oyman (43) (E)	Hipertansiyon.	Sürrenaller normal görülmuştur. (Pancreas psödo kisidi düşündüren görünüm tesbit edildi).	Essential hipertansiyon
9	608	S. Tarhanacı (32) (E)	Cushing?	Sol sùrrenal bezi lateral kuyruğunda malingnite şüphesi olan kitle (28 mm. çapında, non homojen) Sağda medial kuyrukta şüpheli kalınlaşma.	Operasyona gönderildi.
10	623	İlçulu (42) (K)	Cushing?	Sol sùrrenal gövdesinde 3 adet nodül tesbit edilmiş tir. (Hiperpilazi).	Operasyona gönderildi.
11	653	D. Sönmez (24) (K)	Feokromositom (VMA: 10,35)	Sağ BÜB normal. Solda kenar düzensizliği gösteren, renal damarları saran non homojen 40x41 mm. lik kitle.	Operasyon sonucu Feokromositom
12	660	N. Çalışkan (27) (K)	Cushing?	Sol BÜB gövdesinde 32x38 mm. lik non homojen kitle.	Operasyon sonucu Adenom
13	679	S. Özçelik (44) (K)	Conn Sendromu?	Sağ BÜB normal. Sol sùrrenal kesin seçilemiyor. Ancak üç nodullen olmuş yapı sùrenale benzemektedir.	Testler tekrarlanıyor.
14	682	N. Şahan (32) (K)	Cushing?	Her iki sùrrenal normal görülmüştür.	Normal
15	777	B. Okutucu (30) (E)	Cushing?	Sağ sùrrenalde non homojen, diafragma bacagına yapışık 27x47 mm. boyutlarında kitle.	Operasyon sonucu sùrrenal korteksinde Ca.

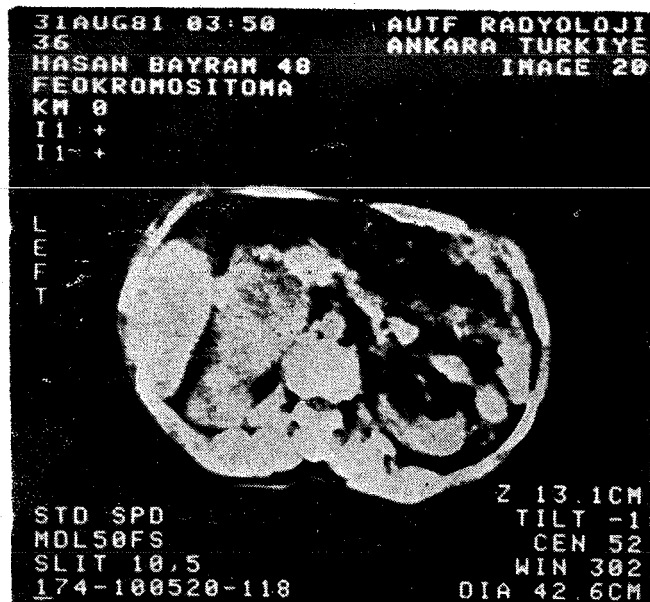
TABLO (Devamı)

Sıra No.	Prot No.	Hastanın, adı, soyadı, yaşı	Klinik bulgu ve ön tanı :	BT Bulguları	Sonuç
16	809	K. Kanal (38) (E)	Hipertansiyon, kronik glomerülo nefrit, Somnolens, Feokromositom?	Her iki surrenal normal görülmüştür.	Intrakranial hematom sonucu ex.
17	844	S. Cömert (47) (K)	Feokromositom?	Sağ surrenal normal, Sol ters Y şeklinde, çevrede büükültülü damarlar mevcut.	Testler tekrar ediliyor.
18	896	A. Saygın (28) (K)	Hipertansiyon?	Her iki surrenal normal.	Essensial hipertansiyon.
19	905	E. Karakaş (24) (K)	Cushing?	Sol surrenal normal, Sağda nodüller kitle tespit edildi. IVC de öne itilme mevcut.	Operasyona gönderildi.
20	911	H. Karantina (63) (E)	(VMA: 10,35)	Surrenaller normal. Tüm abdominal damarlar büükültülü görülmüştür.	İleri tarihte tüm gövde taraması yapılacak.



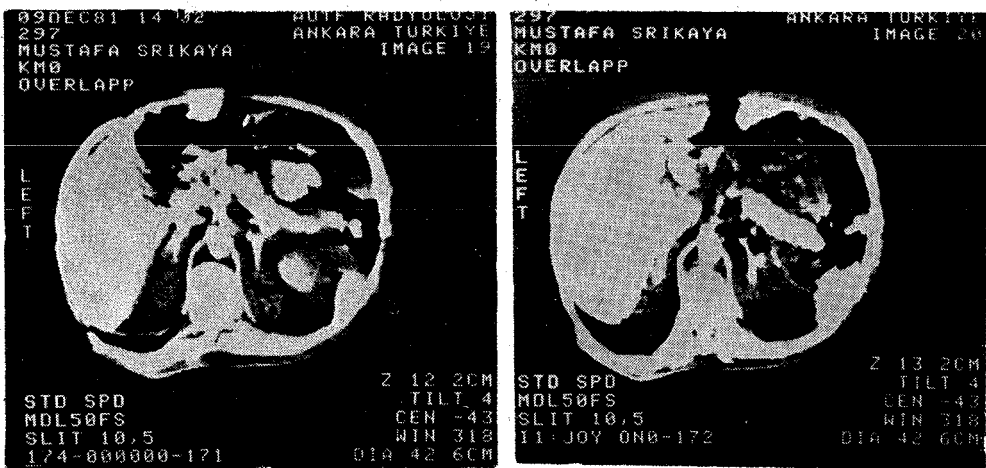
(Şekil 1)

Prot. No. 844 : S. Cömert (k) : Her iki surrenalın normal görünümü



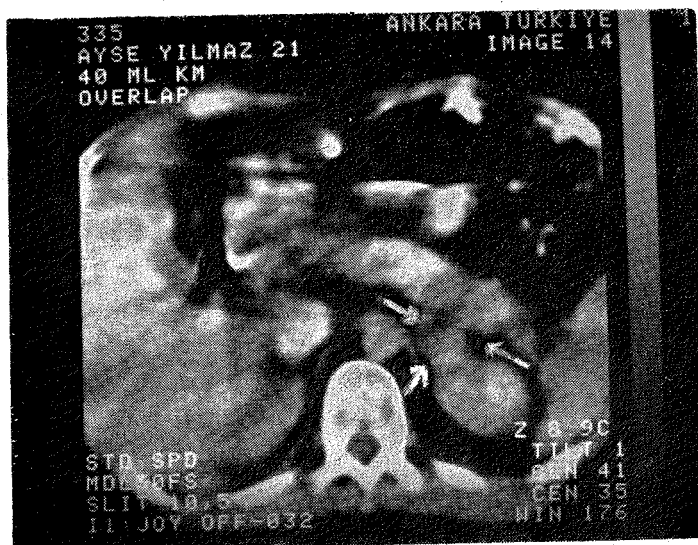
(Şekil 2)

Prot. No. 36 : H. Bayram (E) : Sağ böbrek üst kutbu, diyafragma ve sağ karaciğer lobu arasından porta hepatis doğru uzanan 10X13 cm. boyutlarında, düzgün kenarlı, non-homojen kitle. (Feokromositom).



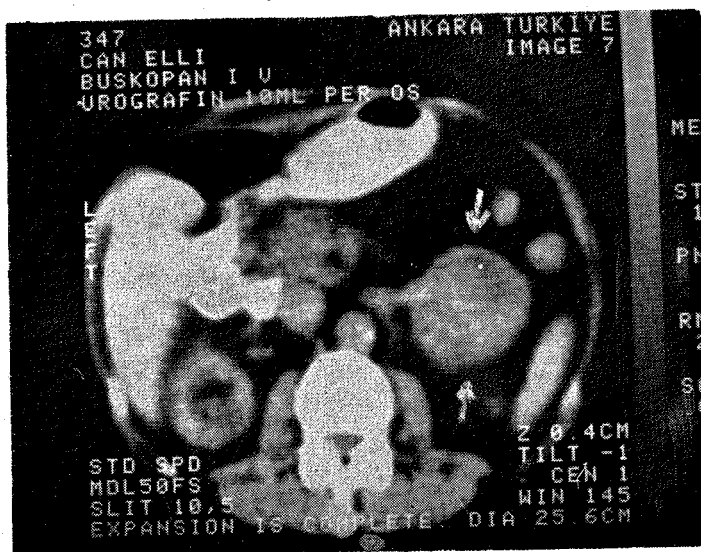
(Şekil 3)

Prot. No. 297 : M. Sarıkaya (E) : Sağ surrenal gövdesi ters V şeklinde, kuyrukları kesin, seçilebilmektedir. Sağ medial kuyrukta kalınlaşmaz söz konusudur. Sol surrenal gövdesi ters Y şeklindedir. Medikal kuyruğu net görülmektedir. (Hiperplazi).



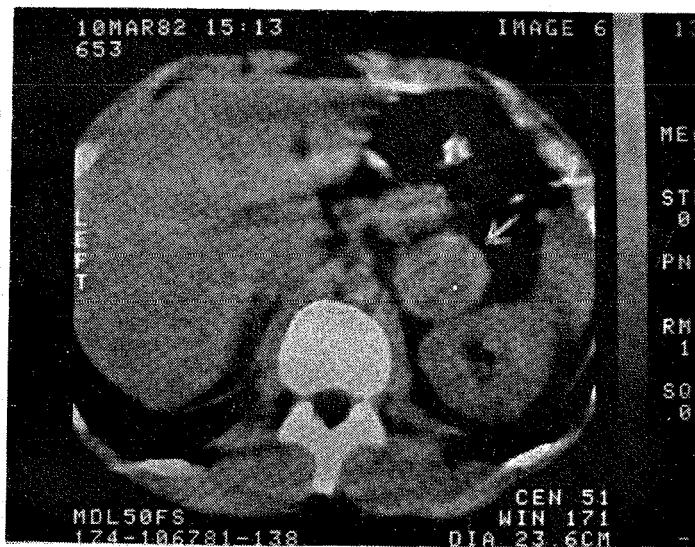
(Şekil 4)

Prot. No: 335 : A. Yılmaz (K) : Sol böbrek üst kutbunun medial ön bölgesinde, böbrek ve pankreas kuyruğuna yapışıklık gösteren, 24X25 mm. boyutlarında non-homojen kitle.
(Kortikal adenom).



(Şekil 5)

Prot. No. 347 : C. Elli (E) : Aortanın ön ve sol lateral bölgesinde bulunan ve sürrenalin lateral kuyruğundan çıkan, düzgün kenarlı, yuvarlak şekilli, non-homojen kitle. 48 mm çapında olan kitle böbrek üst kutbuna yapışıklıdır. (Malignensi).



(Şekil 6)

Prot. No. 653 : D. Sönmez (K) : Sol böbrek üst düzeyinde, ön bölümde, boyutları 40X41 mm. olan non-homojen kitle (Feokromositom)



(Şekil 7)

Prot. No. 777 : B. Okutucu (E) : Karaciğer sol lobu kenarı ve hemidiyafragma arasında ve diyafragmaya yapışık, 27X47 mm. büyülüğünde, non-homojen kitle (Malignensi).

TARTIŞMA

Böbrek üstü bezlerini (BÜB) Bilgi Sayarlı Tomografik inceleme ile ortaya çırkarmak oldukça kolaydır. Bu yöntemle Brownlie ve Kreel inceledikleri olgulara dayanarak, bu organların anatomisi hakkında yeni bilgiler vermişserdir (2). Glandların şekilleri genellikle üç uzunluk olarak tanımanır. Her bezin bir gövde ve iki kuyruğu bulunmaktadır. Sağ adrenal gland, ters Y veya V, bazan da virgül şeklinde ortaya çıkar. Sol surrenal ise, genellikle ters V şeklinde, ender olarak da L harfi biçimindedir.(2).

Şekil 1 de normal Sürrenal bezleri görülmektedir.

Normal BÜB nin şekli ne olursa olsun, kenarları düzgün ve konkavdır.

Normalde, bezlerin yoğunlukları böbrek veya karaciğerlerinkine yakındır (2). Sağ adrenal bezin gövdesi I.V.C. nin hemen arkasında ,hafif lateralinde bulunur. Medial kuyruğu diafragma ve karaciğer arasındaki yağ tabakasına doğru uzanır. Uzunluğu dört cm. ye kadar varabilir. Bazan da vertebra korpusunun arka yüzünden daha da arkaya uzanabilir. Sağ surrenalın lateral kuyruğu daha kısadır. Ender olarak böbreğin ön yüzüne doğru uzanabilmektedir. Sol gland, genellikle 1-1,5 cm. uzunlığundaki gövdeden çıkan ve birbirleri ile 30-90 derecelik açı yapacak şekilde iki kuyruğu sahiptir. Lateral kuyruğu genellikle daha uzundur.

Sağ surrenal bezin en azından bir kısmı, bazanda tamamı, sağ böbrek üst kutbundan daha üst düzeyde bulunmaktadır. Genellikle, sol gland, sol böbrek üst kaliks sistemi düzeyindedir. Ender olarak, sol böbrek hilus düzeyindedir veya sol böbrek üst kutbunun daha üstünde bulunur (2).

Bu normal bulguları bilmenden BÜB ni değerlendirmek mümkün değildir. Biz de yirmi olguluk serimizde, bu bilgiler ışığı altında, 3-5-10-13-17 sıra no.u olgularda sağ surrenal 2 veya 19 sıra no.lu olgularda sol surrenalı ve 7-8-14-18 ve 20. no.lu olgularda da her iki surrenalı normal saptadık

Zayıf hastalarda intra abdominal dokular arasındaki yağ tabakaları kayboldursa, BÜB ni diğer yumuşak dokulardan ayırt etmek güçleşir (2,3)

BÜB nin patolojik durumlarının BT ile ortaya konması oldukça kolaydır. Çünkü, küçük ve şekilleri de belli olan bu organlardaki minimal şekil ve kontür değişiklikleri meydana getirecek lezyonları saptama olasılığı da artacaktır. Nitekim, 5 mm. büyüğündeki lezyonları ortaya çıkarmak mümkündür (6). Kenarları konveks duruma gelmiş, şekli yuvarlaşmış bir surrenal kesinlikle patolojiktir (6). Dört mm. den büyük olanları saptamak daha da kolaydır. Bununla birlikte, normal surrenalın kontürlerinin tamamen silinmesine neden olan çok büyük lezyon-

ların BT ile kesin olarak sùrenale ait olduğunu söylemek mümkün omayabilir. (3,6). Çoğunlukla, patolojik hallerde BÜB nin yoğunluk değerlerinde bir değişiklik meydana gelmemektedir. Ancak kistlerde durum farklıdır. Kenarları düzgün, yoğunluk değerleri suyun yoğunluğu gibidir (6).

Sempato-adrenal sistemin kromafin hücrelerinden orijinini alan ve katekolamin meydana getiren Feokromositomlar genellikle BT ile 1 cm. den büyük olduklarıında kolaylıkla tanımlanabilirler (9).

Bu tümörler bütün sempatik sistemde meydana gelebilirler. Bu nedenle yalnız BÜB ni değil tüm vücutu incelemek gereği vardır (7). Nitekim biz de, 587 Prot. No. lu olgumuzda bu amaçla tümväcut taraması yaptık, fakat intra veya ekstra Feokromositoma düşündürecek bulgulara rastlamadık. Aynı şekilde, 911 Prot. No. lu hastaya da böyle bir vücut taraması planlanmıştır.

Feokromositomalar, genellikle oval, yuvarlak ve değişik yoğunlukta (non-homojen) olabilirler. İçerilerinde bazan, nekrotik dokular, psödokistler ve kalsifikasyonlar bulunabilir (4,5). Bu tümörler çoğunlukla, 3 cm. çaplı bir boyuta eriştiğinde, klinik bulgu verdiklerinden, BT ile saptanmaları kolaydır.

Feokromositomaların beslenmesini veya ektopik durumlarını ortaya koymada angiografi de önerilmektedir. Tümörle birlikte renal arter stenozu da görülebilmektedir (9).

Tablo incelendiğinde, görülecektirki olguların çoğunda klinik ön tanı Cushing ve Hipertansiyondur ve bu nedenle BT incelenmesine gerek duyulmuştur. 1932 de H. Cushing tarafından tanımlanan ve belirtileri arasında, şişmanlık, hipertansiyon, halsizlik, amenore, ödem, v.s. olan bu sendroma, sùrenal hiperplazileri, adenomaları ve kanserleri neden olmaktadır.

Hiperplazileri BT ile saptamak zor olabilir. Genellikle gand normal görünümde dir. BT de bu sendromda, sùrenallerin normal görülmlesi hiperplazi için endirekt bir beirtidir (3). 297 Prot. No.lu olgu bu konuda bir örnek olabilir. Şöyleki, BT incelenmesinde, sağ sùrenal normal bulunmuş, ancak medial kuyruğu şüpheli, minimal kalınlaşmış izlenimi vermiştir. Bu olgu, Cushing sendromunun bütün belirtilerine sahipti ve operasyon sonucu bilateral sùrenal hiperplazisi saptandı.

Adenomlar da Cushing sendromuna neden olabilmektedirler.

Büyükükleri, 2-5 cm. çapında, non-homojen, kenarları düzgün, yoğunluk degereleri böbreğinkine yakın oluşumlardır. Bilateral olduklarında yoğunlukları farklı olabilmektedir (6). Bazı yazarlar, adenomların BT ile saptanma oranlarının % 100 olduğunu bildirmektedirler (8). Şekil 4 te sol sùrenale ait adenom gösterilmiştir.

Karsinomaların yoğunluk değerleri, normal yumuşak doku değerlerine eşittir. Genellikle retro-aortik bölgede metazıt yaparlar (6).

Ancak biz belirgin metazıt belirtileri saptayamadık.

BÜB kenarlarının enfiltasyon ve civar dokulara yapışıklık göstermesi malignensi kriterleridir (6). Bazı karsinomalar içinde, kalsifikasyon, nekroz veya hematom oluşabiliir. Kanserler genellikle Cushing ve Aldosteronizme neden olmaktadır (8).

Myolipoma gibi yağ ve kemik iliği içeren çok alçak yoğunluktaki ender kitelerin de BT ile kolaylıkla saptanabileceği ve düşük yoğunluktaki karsinomalarдан ayırdırmaları gerektiği ortaya çıkmaktadır (10). Gerçekten bazı kanserler fazla yağ veya sterol içerdiklerinden düşük yoğunlukta ortaya çıkmaktadır (3,8).

Bütün bu bilgilerden sonra Tabloyu tekrar incelediğimizde, ameliyata alınan yedi olguda BT bulgularının ameliyat sonuçlarına tam uygunluk gösterdiği anlaşılıcaktır. Hipertansiyon tanısı olan iki hastada BÜB normal bulunmuş, hipertansiyona surrenal patolojilerinin neden omadığı anlaşılmıştır. Bir Feokromositom ön tanısı ile incelediğimiz olgu da BT ile normal bulunmuş, bunun da Feokromositom olmadığı anlaşılmıştır. Adı geçen bu olgular tabloda essansiyel hipertansiyon olarak bildirilmiştir. Üç Cushing düşünülen olguda BT buguları buna tamamen uygunluk göstermiş ve ameliyatlarına karar verilmiştir.

Bu hastalar henüz ameliyata alınamamışlardır. Yukardaki BT sonuçları göz önüne alınırsa bu hastaların da bulgularımızı doğruluyacağımı söylemek yanlış olmaz kanısındayız.

İki Conn sendromu ve iki Feokromositom ön tanılı olguda BT bulguları kesin patolojik durum göstermediğinden, laboratuvar testlerinin tekrarına gerek duymusmuştur.

Genel durumu çok bozuk olan 809 Prot. No.lu hasta Ex. olduğundan, değerlendirme dışı bırakılmıştır.

Sonuç olarak yirmi olguluk serimizde, onaltı hastaya BT ile doğru tanı konulmuş demektir. Başarı oranının bu suretle % 80 olduğu söylenebilir. Sample BT ile bu konuda doğru tanı koyabilme oranının % 82 olduğunu bildirmektedir (7). Bu da bizim bulduğumuz değere eşit anlamına gelmektedir.

ÖZET

Çeşitli klinik ön tanı ile surrenal patolojisi düşünülen ve Radyoloji Birimi'nden BT ile surrenalleri incelenen yirmi olgu tartışılmıştır. Başarı oranının % 80 olduğu anlaşılmıştır.

Uygulanması kolay ve risksiz olan bu inceleme yönteminin BÜB hastalıklarında diğer radyolojik yöntemlerden önce düşünülmesinin uygun olacağı söylenebilir.

SUMMARY**Computed Tomography of The Adrenal Glands**

At the Radiology Department of A.Ü. Tip Fak. 20 cases of suspected adrenal pathology were examined with Computed Tomography.

Computed Tomography easily and accurately demonstrates both the normal and abnormal adrenal glands.

In this series 80 % accuracy was determined.

KAYNAKLAR

1. Alfidi, J.R., Haaga, J., Weinstein, M. and DeBrood, J. : Computed Tomography of the Human Body, Saint Louis, Mosby Comp. 1977 pp. VII.
2. Brownlie, K., and Kreel, L. : Computer Assisted Tomography of the Normal Suprarenal Glands. *J. Comput. Assist. Tomogr.* 2 (1) : 1, 1978.
3. Dunnick, N.R., Schaner, E.G., Doppman, J.L., Strott, C.A., Gill, J.R., Javadpour, N. : Computed Tomography in Adrenal Tumors. *AJR* 132 : 43, 1979.
4. Eghrari, M., McLoughlin, J.M., Rosen, I.E., StLouis, E.L., Wilson, S.R., Wise, D.J., Yeung, H.P.H. : The Role of Computer Tomography in Assessment of Tumoral Pathology of the Adrenal Glands. *J. Comput. Assist. Tomogr.* 4 (1) : 71, 1980.
5. Falappa, P., Mirk, P., Rossi, M., Troncone, L., Butti, A., Colagrande, C. : Bilateral Pseudocystic Pheochromocytoma. *J. Comput. Assist. Tomogr.* 4 (6) : 860, 1980.
6. Karstaedt, N., Sagel, S.S., Stanley, R.J., Melson, G.L., Levit, R. : Computed Tomography of the Adrenal Gland. *Radiol.* 129 : 723, 1978.
7. Sample, W.F., Sarti, D.A. : Computer Tomography and Gray Scale Ultrasonography of the Adrenal Gland : A Comparative Study. *Radiol.* 128 : 377, 1978.
8. Schaner, G.E., Dunnick, N.R., Strott, C.A., Gill, J.R., Javadpour, N. : Adrenal Cortical Tumors with Low Attenuation Coefficients : A Pitfall in Computed Tomography Diagnosis *J. Comput. Assist. Tomogr.* 2 (1) 11, 1978
9. Tisnado, J., Amendola, M.A., Konerding, K.F., Shirazi, K., Beachley, M.C. : Computed Tomography Versus Angiography in the Localisation of Pheochromocytoma. *J. Comput. Assist. Tomogr.* 4 (6) : 853, 1980.
10. Weiner, S.N., Bernstein, R.G., Lowy, S., Karp, H. : Combined Adrenal Adenoma and Myelolipoma. *J. Comput. Assist. Tomogr.* 5 (3) : 440, 1981.